

确定介质薄板电参数的一种频域方法

张守融 王卫延

(中国科学院电子学研究所,北京)

摘要 用单色电磁波照射介质薄板并测量其散射场,根据测得的散射场数据,可以确定介质薄板的电参数分布. 本文给出一种单层和双层不均匀介质薄板的电参数确定方法,并给出了数值计算结果.

关键词 逆散射; 损耗介质; 介质薄板

1. 引言

介质体的电磁逆散射问题,由于其明显的应用价值近年来引起许多学者的注意,并提出了一些根据介质体的散射场确定介质体参数分布的方法^[1,2]. 但这些方法,都要求介质体满足弱散射条件,使它们的应用范围受到很大限制. 本文提出一种根据散射场确定介质薄板电参数分布的方法,不要求介质板满足弱散射条件,因而可以有较宽的应用范围.

设有任意宽度的无限长介质板位于自由空间中,并设介质板是各向同性、有损耗或不损耗的,其电参数分布在宽度方向可以是不均匀的,但假定沿长度方向均匀.

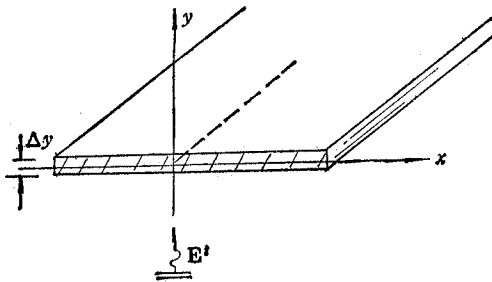


图 1

建立坐标系如图1所示,介质的介电常数和电导率分别记为 $\epsilon(\mathbf{r}) = \epsilon(x, y)$ 和 $\sigma(\mathbf{r}) = \sigma(x, y)$; 为简单起见,设介质的磁导率为真空磁导率 μ_0 .

以电场矢量沿 \hat{z} 方向线偏振的单色波 $\mathbf{E}^i = E^i \hat{z}$ 照射介质板. 在上述条件下,介质板内外的电场均应沿 \hat{z} 方向线偏振. 记电场分布为 $\mathbf{E} = E \hat{z}$, 则有

$$E(x, y) = E^i(x, y) + E^s(x, y) \quad (1)$$

这里 E^s 是介质板的散射场. 不论 $(x,$

$y)$ 点在介质板外部或者内部, (1)式都是对的.

设入射场有时间依赖 $e^{-i\omega t}$, 则介质板的散射场 E^s 可以表示为

$$E^s(x, y) = \iint_D i\omega \mu_0 J(x', y') \cdot G(x, y, x', y') dx' dy' \quad (2)$$

式中 $J(x', y')$ 是由下式定义的等效电流:

$$J(x', y') = [\sigma(x', y') - i\omega(\epsilon(x', y') - \epsilon_0)]E(x', y') \quad (3)$$

$G(x, y, x', y')$ 是二维波动方程的 Green 函数:

$$G(x, y, x', y') = \frac{i}{4} H_0^{(1)}(K_0 R) \quad (4)$$

K_0 是自由空间波数, R 是源点 (x', y') 到场点 (x, y) 的距离。积分在介质板的截面 D 上进行。由于在介质以外的空间区域中总有 $J = 0$, 因此这个积分也可以扩展到全部 (x', y') 平面, 即

$$E^s(x, y) = \iint_{-\infty}^{\infty} i\omega\mu_0 J(x', y') \cdot G(x, y, x', y') dx' dy' \quad (5)$$

2. 确定介质板电参数分布的方法

二维波动方程的 Green 函数 $G(x, y, x', y')$ 可以表为^[3]

$$G(x, y, x', y') = \frac{i}{2} \int_{-\infty}^{\infty} H(\alpha, y, y') e^{i2\pi\alpha(x-x')} d\alpha \quad (6)$$

其中 $H(\alpha, y, y')$ 是已知函数

$$H(\alpha, y, y') = e^{i\sqrt{K_0^2 - 4\pi^2\alpha^2}|y-y'|} / \sqrt{K_0^2 - 4\pi^2\alpha^2} \quad (7)$$

并有 $\text{Im} \sqrt{K_0^2 - 4\pi^2\alpha^2} \geq 0$ 。把(6)式代入(5)式, 即得

$$E^s(x, y) = -\frac{\omega\mu_0}{2} \iiint_{-\infty}^{\infty} J(x', y') H(\alpha, y, y') e^{i2\pi\alpha(x-x')} dx' dy' d\alpha \quad (8)$$

记 $E^s(x, y)$ 对 x 的 Fourier 变换为 $\tilde{E}^s(\alpha, y)$,

$$\tilde{E}^s(\alpha, y) = \int_{-\infty}^{\infty} E^s(x, y) e^{-i2\pi\alpha x} dx \quad (9)$$

则有

$$E^s(x, y) = \int_{-\infty}^{\infty} \tilde{E}^s(\alpha, y) e^{i2\pi\alpha x} d\alpha \quad (10)$$

比较(8)式与(10)式, 则有

$$\tilde{E}^s(\alpha, y) = -\frac{\omega\mu_0}{2} \iint_{-\infty}^{\infty} J(x', y') H(\alpha, y, y') e^{-i2\pi\alpha x'} dx' dy' \quad (11)$$

设介质板充分薄, 并可近似地认为介质板在厚度方向均匀, 介质板内部的场和等效电流也可近似看作沿厚度方向是均匀的, 如图 2 所示。这样, 在散射体外一条直线 $y = y_0$ 上

的散射场 $E^s(x, y_0)$ 对 x 的 Fourier 变换应为

$$\begin{aligned} \tilde{E}^s(\alpha, y_0) &= -\frac{\omega\mu_0\Delta y}{2} \\ &\times \int_{-\infty}^{\infty} J(x', 0) \\ &\cdot H(\alpha, y_0, 0) e^{-i2\pi\alpha x'} dx' \\ &= -\frac{\omega\mu_0\Delta y}{2} H(\alpha, y_0, 0) \cdot \tilde{J}(\alpha) \end{aligned} \quad (12)$$

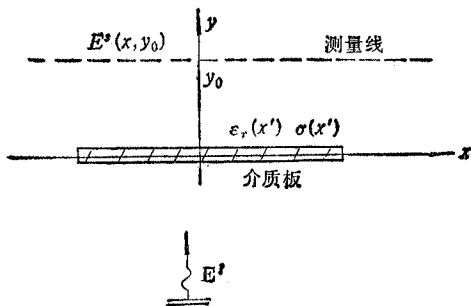


图 2

式中 $\tilde{J}(\alpha)$ 是 $J(x', 0)$ 对 x' 的 Fourier 变换。由(12)式可得

$$J(x', 0) = -\frac{2}{\omega \mu_0 \Delta y} \int_{-\infty}^{\infty} \frac{\tilde{E}^i(\alpha, y_0)}{H(\alpha, y_0, 0)} e^{i2\alpha x'} d\alpha \quad (13)$$

介质板内的电场 $E(x, 0)$ 则为

$$E(x, 0) = E^i(x, 0) - \frac{\omega \mu_0}{4} \iint_D J(x', 0) H_0^{(1)}(K_0 R) dx' dy' \quad (14)$$

由(3)式即可得到介质板的电参数分布为

$$\sigma(x) - i\omega(\varepsilon(x) - \varepsilon_0) = \frac{J(x, 0)}{E(x, 0)} \quad (15)$$

图 3—图 4 表示用这种方法得到的计算结果。在这些例子中，散射体是一块厚度为 0.05m 的介质板，宽 3.05m，入射波为 300MHz 平面波，垂直照射到介质板上。测量线距介质板 0.5m。在讨论散射场时，采用了 Richmond 的方法^[4]。图 3(a) 和图 3(b) 是无损介质板的情形，图 4(a) 和图 4(b) 是有损介质板的情形。曲线 A 是介质板的介电常数分布，曲线 B 是电导率分布。实线表示给定的参数分布，虚线是确定的参数。

计算结果说明，用这种方法，可以相当准确地根据散射场确定介质薄板的电参数分布。在图 3 和图 4(a) 中出现的被确定参数在给定参数附近振荡的现象，是由离散

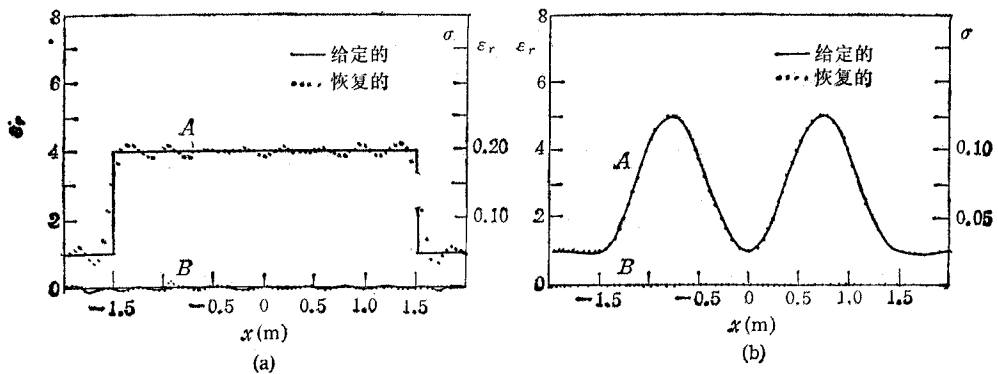


图 3

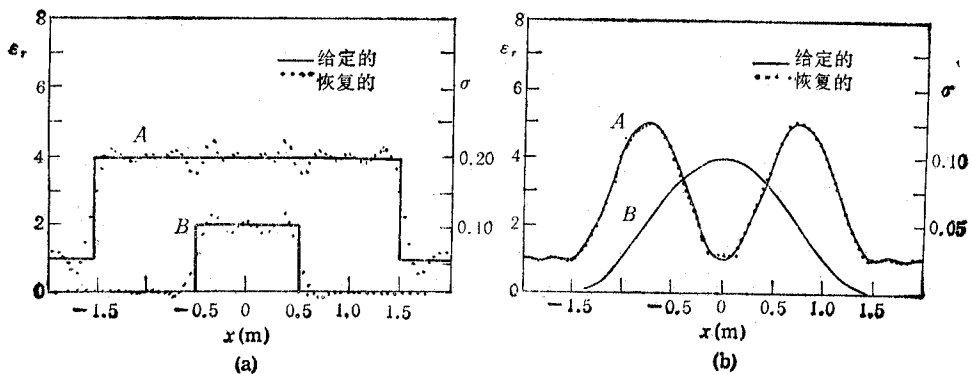


图 4

Fourier 变换中的计算误差引起的。

3. 双层介质板电参数分布的确定

如图5, 设散射体是两块厚度为 Δy 的介质板, 每块介质板充分薄, 在厚度方向可视为各自均匀, 并可近似地认为其内部电场和等效电流在厚度方向也各自均匀。设两块介质板分别位于 $y = y_1$ 和 $y = y_2$, 两块介质板中的等效电流分别为 $J_1(x)$ 和 $J_2(x)$ 。在散

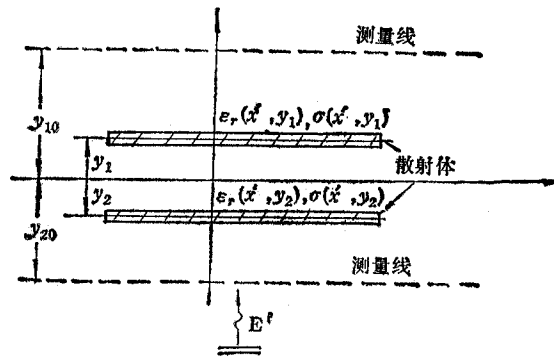


图 5

射体两侧选择两条测量线 $y = y_{10}$ 和 $y = y_{20}$ 。在这两条线上测得的散射场分别为 $E^s(x, y_{10})$ 和 $E^s(x, y_{20})$, 其 Fourier 变换分别为

$$\left. \begin{aligned} \tilde{E}^s(\alpha, y_{10}) &= \int_{-\infty}^{\infty} E^s(x, y_{10}) e^{-i2\pi\alpha x} dx \\ \tilde{E}^s(\alpha, y_{20}) &= \int_{-\infty}^{\infty} E^s(x, y_{20}) e^{-i2\pi\alpha x} dx \end{aligned} \right\} \quad (16)$$

由(12)式可得

$$\left. \begin{aligned} \tilde{E}^s(\alpha, y_{10}) &= A\tilde{J}_1(\alpha) + B\tilde{J}_2(\alpha) \\ \tilde{E}^s(\alpha, y_{20}) &= C\tilde{J}_1(\alpha) + D\tilde{J}_2(\alpha) \end{aligned} \right\} \quad (17)$$

其中

$$\left. \begin{aligned} A &= -\omega\mu_0\Delta y H(\alpha, y_{10}, y_1)/2 \\ B &= -\omega\mu_0\Delta y H(\alpha, y_{10}, y_2)/2 \\ C &= -\omega\mu_0\Delta y H(\alpha, y_{20}, y_1)/2 \\ D &= -\omega\mu_0\Delta y H(\alpha, y_{20}, y_2)/2 \end{aligned} \right\} \quad (18)$$

式中 H 即如(7)式所示, 而 $\tilde{J}_1(\alpha)$ 和 $\tilde{J}_2(\alpha)$ 分别为等效电流 $J_1(x')$ 和 $J_2(x')$ 的 Fourier 变换。 $\tilde{J}_1(\alpha)$ 和 $\tilde{J}_2(\alpha)$ 可从(17)式解出, 从而可以求出两块介质薄板上的等效电流分布 $J_1(x)$ 和 $J_2(x)$, 再利用前面所述方法, 即可得到各介质板的参数分布。

对两个双板模型进行了模拟计算。两板的厚度均为 0.05m, 宽 2.05m, 两板间的距离为 0.2m, 入射波的频率为 300MHz。图6表示的是两块无损介质板的情形。图 6(a) 和图 6(b) 分别表示两块板中的参数分布。图 7 是有损介质板的情形。曲线 A 表示相对介电常数, 曲线 B 表示电导率。

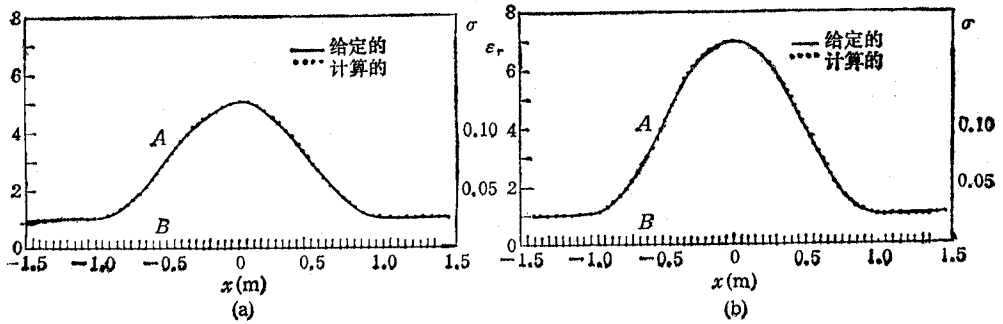


图 6

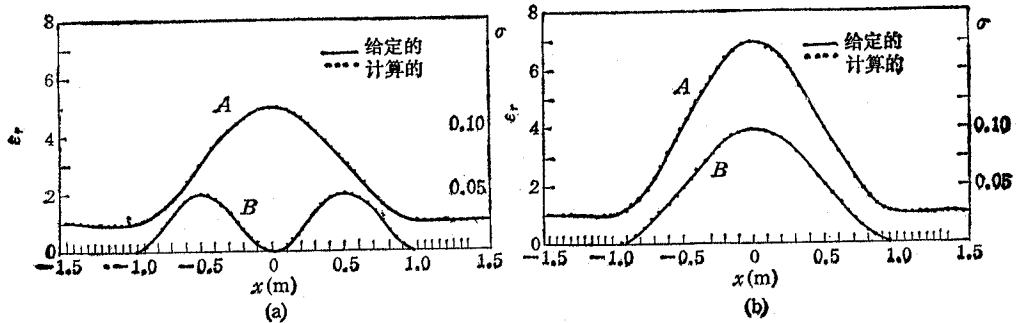


图 7

参 考 文 献

- [1] M. Slaney, et al., *IEEE Trans. on MTT*, **MTT-32**(1984)8, 860.
 [2] C. Pichot, et al., *IEEE Trans. on AP*, **AP-33**(1985)4, 416.
 [3] G. Tyras, *Radiation and Propagation of Electromagnetic Waves*, New York, Academic, (1979).
 [4] J. H. Richmond, *IEEE Trans. on AP*, **AP-13**(1965)3, 334.

A FREQUENCY-DOMAIN METHOD FOR DETERMINATION OF PARAMETERS OF DIELECTRIC SLABS

Zhang Shourong Wang Weiyan

(*Institute of Electronics, Academia Sinica, Beijing*)

Abstract The complex parameters of single or double inhomogeneous lossy dielectric slabs can be determined if the slabs is illuminated by a harmonic electromagnetic wave and the scattered field is measured. The method of determining parameters is described and the numerical results are given.

Key words Inverse scattering; Lossy dielectric; Dielectric slab